PACS: 81.07.Wx, 81.20.Ev, 81.40.Vw

А.А. Зозуля<sup>1</sup>, А.В. Малецкий<sup>1,2</sup>, Д.Р. Беличко<sup>1</sup>, Г.К. Волкова<sup>1</sup>, М.Н. Якименко<sup>1</sup>, Л.В. Лоладзе<sup>1</sup>, И.К. Носолев<sup>1</sup>

ВЛИЯНИЕ ВЫСОКОГО ГИДРОСТАТИЧЕСКОГО ДАВЛЕНИЯ НА НАЧАЛЬНУЮ СТАДИЮ СПЕКАНИЯ МЕТАСТАБИЛЬНОГО ОКСИДА АЛЮМИНИЯ, ЛЕГИРОВАННОГО СТАБИЛИЗИРОВАННЫМ ДИОКСИДОМ ЦИРКОНИЯ

Статья поступила в редакцию 23 апреля 2025 года

Исследовано влияние обработки нанопорошка высоким (300, 500, 700 МРа) гидростатическим давлением (ВГД) и легированием стабилизированным диоксидом циркония  $(ZrO_2 + 3 mol\% Y_2O_3 (YSZ))$  на начальную стадию спекания метастабильных фаз оксида алюминия у $+\theta$ -Al<sub>2</sub>O<sub>3</sub>. Методами рентгеноструктурного анализа (PCA), просвечивающей электронной микроскопии (ПЭМ) и методом Брунауэра-Эммета-Теллера (БЭТ) изучены морфология, структура и фазовый состав нанопорошков. Проведены измерения линейной усадки спрессованных образцов методом постоянной скорости нагрева  $5^{\circ}$ C/min в диапазоне от 20 до  $1500^{\circ}$ C. Обнаружено, что с ростом величины ВГД температура начала спекания компактов уменьшается. Исходя из данных РСА и результатов дилатометрического анализа, процесс спекания делится на две стадии: усадку полиморфных модификаций  $\gamma+\theta-Al_2O_3$  и уплотнение стабильной фазы  $\alpha$ -Al<sub>2</sub>O<sub>3</sub>. Установлена связь между увеличением концентрации легирующей добавки и торможением процесса уплотнения при фазовом переходе из метастабильной фазы оксида алюминия в стабильную. Анализ плотностей до и после спекания показал, что с повышением концентрации легирующей примеси YSZ и ростом величины  $B\Gamma \mathcal{I}$  энергия активации начала спекания Q уменьшается. Для систем  $Al_2O_3 + nYSZ$  (n = 0, 1, 5, 10, 15 wt%), обработанных ВГД при значении  $P \ge 500$  MPa, преобладающим механизмом спекания является объемная диффузия зерен, а при концентрации YSZ  $n \ge 5$  wt% и P = 300 MPa — зернограничная диффузия.

**Ключевые слова:** метастабильный оксид алюминия, стабилизированный диоксид циркония, высокое гидростатическое давление, кинетика спекания

#### Введение

В настоящий момент композитные керамические материалы широко применяются во многих отраслях и сферах деятельности народного хозяйства. Благодаря износостойкости и высоким трибологическим свойствам изделия из керамики используются в производстве конструкционных материа-

© А.А. Зозуля, А.В. Малецкий, Д.Р. Беличко, Г.К. Волкова, М.Н. Якименко, Л.В. Лоладзе, И.К. Носолев, 2025

<sup>&</sup>lt;sup>1</sup>Донецкий физико-технический институт им. А.А. Галкина

<sup>&</sup>lt;sup>2</sup>Международная межправительственная научно-исследовательская организация «Объединенный институт ядерных исследований», Дубна

лов, средств индивидуальной броневой защиты и режущих инструментов [1–4]. За счет биологической совместимости некоторые композитные материалы применяются для протезирования в ортопедии и стоматологии [6,7].

В зависимости от состава и методов получения композитные материалы обладают широким спектром свойств, что делает их более привлекательными для различных отраслей промышленности по сравнению с однофазной керамикой [1,8,9]. Благодаря варьированию концентрации примесей либо способа получения композитной керамики становится возможным добиться улучшения физических и механических свойств материалов [8,10,11].

Одним из наиболее изученных композитных материалов является керамика на основе оксида алюминия Al<sub>2</sub>O<sub>3</sub> [12]. Проведено множество исследований, на основе результатов которых можно заключить, что в зависимости от способа получения, концентрации и вида примесей такая керамика обладает уникальными свойствами [10,12–14]. Например, в работе [13] выявлено улучшение трибологических свойств спеченных компактов благодаря способу получения нанопорошка методом совместного химического осаждения. В статье [10] было показано, что с добавлением SiC в Al<sub>2</sub>O<sub>3</sub> повышается стойкость к эрозийному износу.

Одним из перспективных композитных керамических материалов является система  $Al_2O_3$ —( $ZrO_2+3$  mol%  $Y_2O_3$ ) [4,15]. Матрицей такой системы является стабильная фаза оксида алюминия ( $\alpha$ - $Al_2O_3$ ), а в качестве наполнителя выступает частично стабилизированный иттрием диоксид циркония. В [16,17] было показано, что из порошков на основе метастабильных фаз  $\gamma$ +0- $Al_2O_3$  можно получить плотную композитную керамику системы  $Al_2O_3$ —YSZ (ZTA-керамика) при меньших ( $\sim 1550$ °C) температурах спекания по сравнению с порошками на основе стабильной фазы  $\alpha$ - $Al_2O_3$  (1700–1800°C) [18].

Механические свойства керамических изделий в значительной степени зависят от структуры композитной керамики. Структуру можно изменять, воздействуя на порошки различными способами: ультразвуковым прессованием, ВГД либо добавлением примесей различных концентраций. Также известно, что на свойства композитной керамики существенно влияют размеры зерен [8]. Поэтому одними из важнейших задач синтеза керамических систем являются сохранение малого размера зерен и предотвращение их укрупнения во время спекания образцов. Это возможно при достаточно быстром спекании, при относительно низкой температуре спекания и сокращении продолжительности спекания [18]. Также следует учитывать роль легирующей добавки в формировании зерен: она может находиться в твердом растворе или выделяться на границах зерен, препятствуя процессу рекристаллизации, что приводит к торможению роста зерен.

Микроструктура спеченного материала зависит от процессов массопереноса, происходящих во время спекания. Так, в ряде статей [19–21] показано, что благодаря легирующей добавке изменяется механизм диффузии на начальном этапе спекания: от диффузии по границам зерен к объемной диффузии. Это приводит к увеличению скорости уплотнения спекаемого образца, что может снизить энергию активации спекания и, следовательно, уменьшить энергозатраты при синтезе высокоплотной керамики.

На сегодняшний день проводятся исследования, направленные на поиск способов оптимизации синтеза и уменьшения энергозатрат при создании композитной керамики. Например, применяются различные методы, позволяющие снизить скорость и температуру спекания (микроволнового, импульсно-плазменного) нанопорошков [22,23].

Спекание является заключительной и наиболее значимой технологической операцией в производстве керамики. Зернограничная и объемная диффузии различаются скоростью усадки и способностью влиять на формирование структурных элементов керамики (пор, зерен, границ зерен) [24]. Поэтому определение типа механизма диффузии при спекании керамических материалов помогает в разработке оптимального режима спекания и получении требуемой структуры и свойств керамического материала.

В работах [19–21] авторы стремятся получить такие составы нанопорошков, чтобы спекание на начальной стадии протекало с преобладанием механизма объемной диффузии. При этом исследователи, как правило, уделяют внимание рассмотрению влияния только одного фактора – примеси, не учитывая воздействия механической активации.

Таким образом, цель данной работы — определить влияние обработки компактов  $B\Gamma Д$  на кинетику начальной стадии спекания нанопорошков системы  $Al_2O_3$ —YSZ с различными концентрациями YSZ.

#### 1. Материалы и методы исследования

Исследуемые порошки были получены при комнатной температуре методом химического соосаждения из растворов солей хлорида алюминия (AlCl<sub>3</sub>·6H<sub>2</sub>O), хлорида циркония (ZrOCl<sub>2</sub>·8H<sub>2</sub>O) и нитрата иттрия (Y(NO<sub>3</sub>)<sub>3</sub>). Раствор аммиака использовали в качестве осадителя, в конце синтеза рН осаждения составлял  $\geq$  8.5. Преимущество данного метода заключается в получении наноразмерных порошков с незначительным разбросом размеров частиц, что важно в получении керамики с гомогенной мелкозернистой структурой и высокими физическими и механическими свойствами [25].

Полученные гидроксиды подвергали дальнейшему отжигу в течение 2 h при температуре  $T_{\text{ann}} = 1000^{\circ}\text{C}$ , после чего порошки имели состав Al<sub>2</sub>O<sub>3</sub> (модификации  $\gamma$ + $\theta$ ) + nYSZ, где n = 0, 1, 5, 10, 15 wt%.

Измерение площади удельной поверхности исследуемых порошков осуществляли методом БЭТ на приборе типа «SOBRI-4» с погрешностью 5%. Морфологию порошковых смесей исследовали методом ПЭМ с использованием микроскопа JEM-200A.

Структурный и фазовый составы всех нанопорошков, отожженных при  $T_{\rm ann}=1000^{\circ}{\rm C}$  на протяжении 2 h, а также размеры областей когерентного рассеяния (ОКР) рентгеновских лучей были изучены методом рентгеновской дифракции на установке ДРОН-3М в отфильтрованном медном излучении. Этим же методом определяли температуру фазового перехода в стабильную форму  $\alpha$ -Al<sub>2</sub>O<sub>3</sub> порошков состава Al<sub>2</sub>O<sub>3</sub> + nYSZ (где n = 0, 1, 5, 10, 15 wt%), отожженных при  $T_{\rm ann}$  = 1200 и 1300°C в течение 1 h.

Порошки подвергали одноосному прессованию в стальных пресс-формах при  $P=20\,$  MPa. Получившиеся образцы в форме брусков с размерами  $6\times 6\times 40\,$  mm обрабатывали ВГД при  $P=300,\,500,\,700\,$  MPa.

Для дилатометрических исследований были подготовлены образцы диаметром 6 mm и длиной 12 mm. Степень усадки спеченных порошковых компактов изучали с помощью дилатометра NETZSCH DIL 402 PC, откалиброванного по стандартному образцу из Al<sub>2</sub>O<sub>3</sub>. Измерения линейной усадки спрессованных образцов при постоянной скорости нагрева проводили в диапазоне от 20 до 1500°C со скоростью нагрева 5°C/min. Когда температура достигала 1500°C, образец охлаждали с постоянной скоростью. Тепловое расширение каждого образца было скорректировано в соответствии с кривой охлаждения при помощи метода, описанного в [25].

Для определения механизма начала спекания нанопорошков системы  $(\gamma+\theta)$ -Al<sub>2</sub>O<sub>3</sub>—YSZ был проведен дилатометрический анализ с использованием метода, описанного в работах [25,26], применяемого для данных о линейной усадке образцов, полученных при постоянной скорости нагрева.

#### 2. Результаты и их обсуждение

## 2.1. Рентгеноструктурный анализ

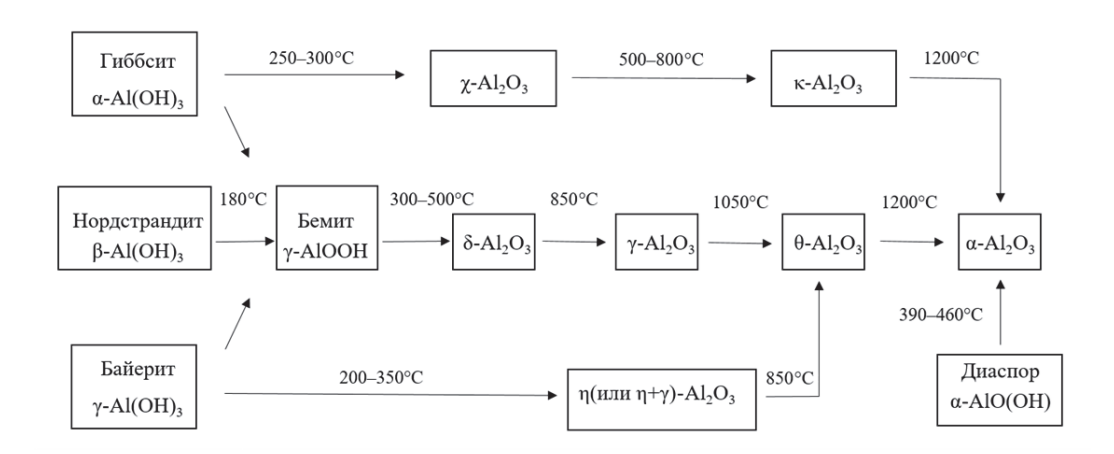
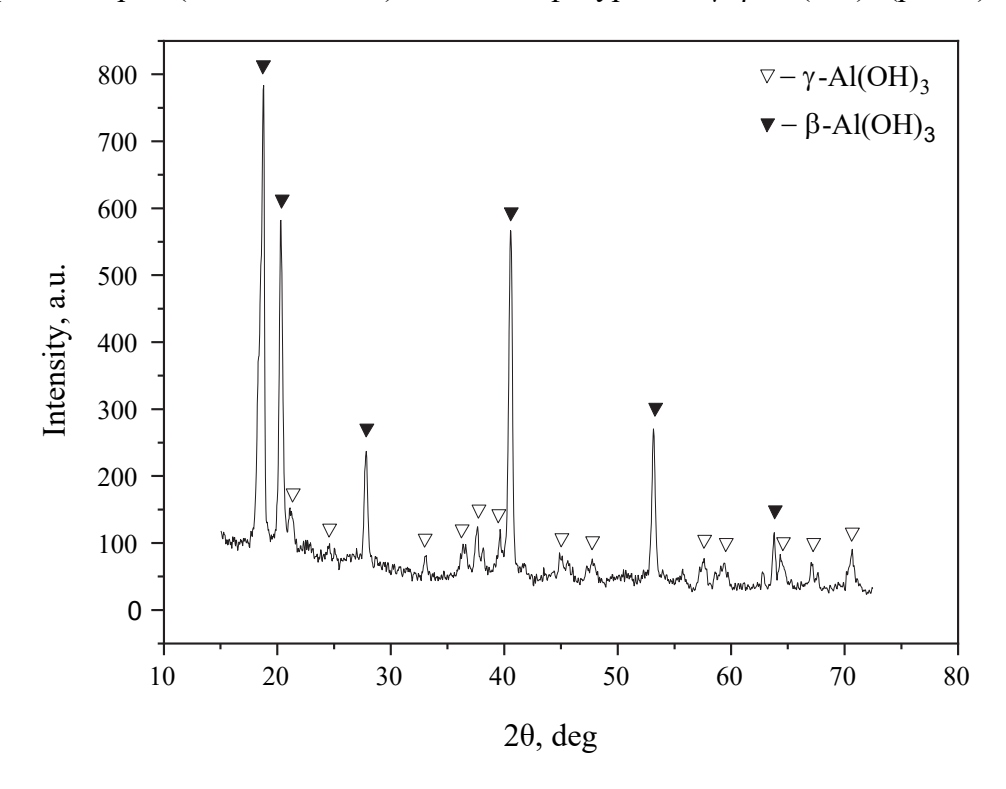


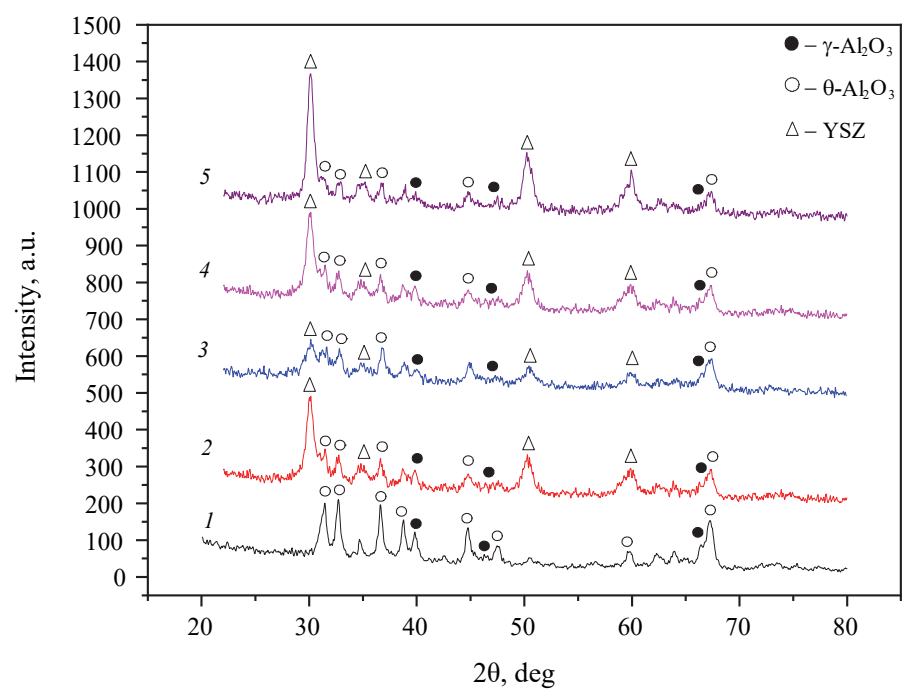
Рис. 1. Схема фазовых превращений в алюмооксидной системе

Порошки Al(OH)<sub>3</sub>, полученные методом химического соосаждения, после сушки при  $T \sim 200$ °C в соответствии с базой данных порошковой дифрактометрии (PDD, version 3) имели конфигурацию  $\gamma$ + $\beta$ -Al(OH)<sub>3</sub> (рис. 2).



**Рис. 2.** Дифрактограммы порошков Al(OH)3 после сушки при  $T \sim 200$ °C

Порошковые смеси  $\gamma+\beta$ -Al(OH)<sub>3</sub> + nYSZ (n=0,1,5,10,15 wt%), полученные также методом химического соосаждения, были отожжены при  $T_{\text{ann}} = 1000$ °C с выдержкой в течение 2 h и имели состав  $\gamma + \theta$ -Al<sub>2</sub>O<sub>3</sub> + nYSZ. Дифрактограммы полученных систем приведены на рис. 3. Методом РСА установлено, что эти порошковые смеси имеют трехфазную структуру: моноклинную  $\theta$ -Al<sub>2</sub>O<sub>3</sub>, кубическую  $\gamma$ -Al<sub>2</sub>O<sub>3</sub> и тетрагональную t-ZrO<sub>2</sub>. Наличие двух различных фаз оксида алюминия объясняется тем, что в процессе нагрева состава γ+β-Аl(OH)3 происходит его трансформация двумя способами: через промежуточную модификацию у-АlOOH, которая позже приводит к образованию кубической фазы γ-Al<sub>2</sub>O<sub>3</sub>, и через метастабильную фазу  $\eta + \gamma - Al_2O_3$ , трансформирующуюся в моноклинную  $\theta - Al_2O_3$ . Присутствие тетрагональной фазы t-ZrO2 объясняется тем, что даже при малых концентрациях диоксида циркония в системе Al<sub>2</sub>O<sub>3</sub> + nYSZ не происходит образования твердого раствора (из-за большой разницы в размерах ионных радиусов:  $A1^{3+} = 0.57 \text{ Å и } Zr^{4+} = 0.82 \text{ Å}$ ), т.е.  $ZrO_2$  представляет собой свободную фазу.

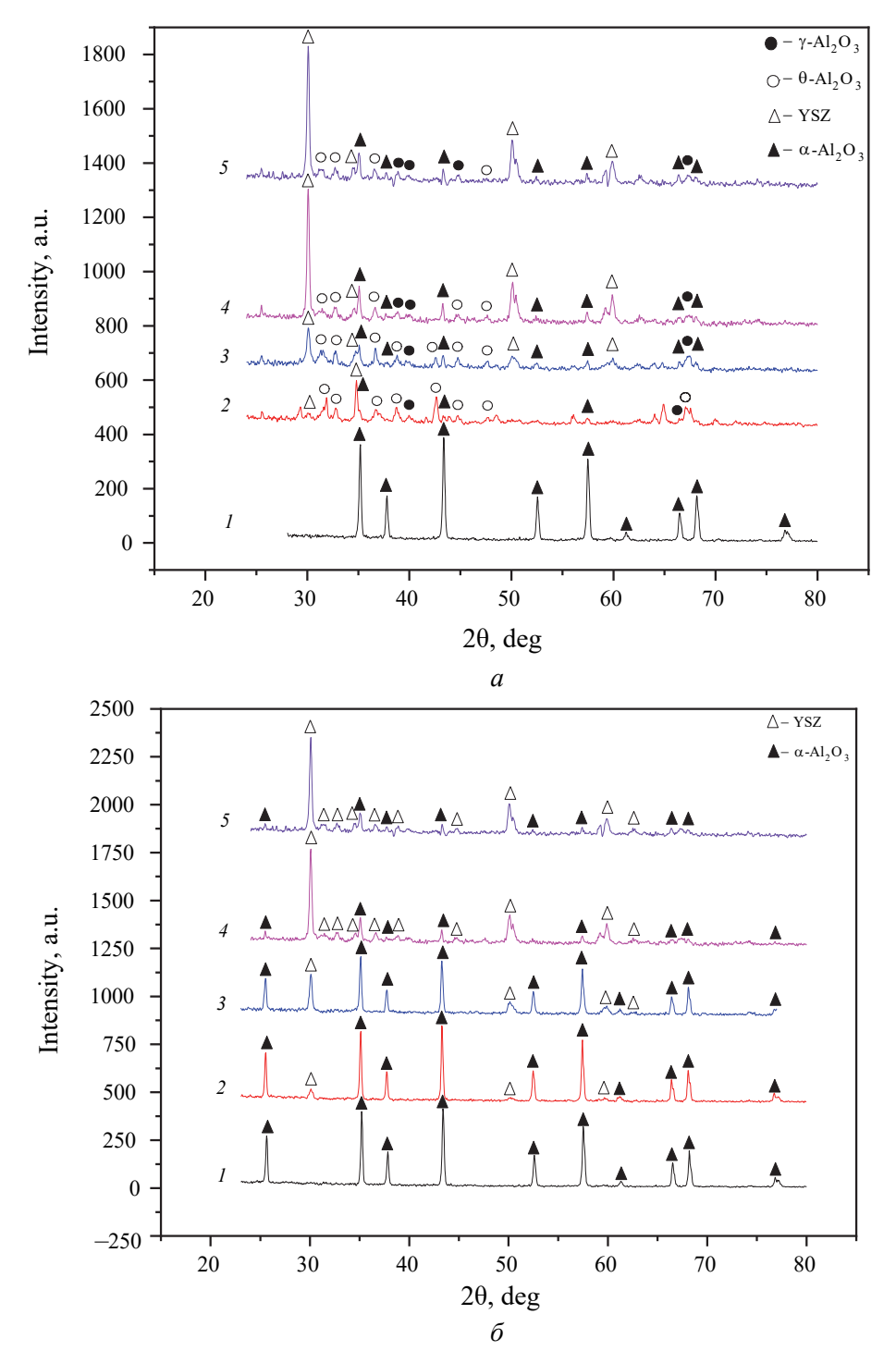


**Рис. 3.** Дифрактограммы отожженных при  $T_{\text{ann}} = 1000^{\circ}\text{C}$  порошковых смесей  $\gamma+\theta$ -Al<sub>2</sub>O<sub>3</sub> + nYSZ, где n, wt%: I-0, 2-1, 3-5, 4-10, 5-15

В системе  $\gamma$ + $\theta$ -Al<sub>2</sub>O<sub>3</sub> + 5 wt% YSZ (рис. 3, кривая 3) наблюдается снижение максимальной интенсивности пиков. Вероятно, именно при данной концентрации существует наиболее выраженная неоднородность порошковой системы: формируются крупные агломераты ZrO<sub>2</sub>, однако количества его атомов недостаточно для образования зародышей кристаллической структуры в обычном температурном интервале. Эта неоднородность повышает температуру кристаллизации, которая зависит от размера выпавших в осадок агломератов и количества атомов в них (эффект «взаимной защиты от кристаллизации», характерный для порошковых композитных систем, полученных методом химического соосаждения) [28].

Для оценки температуры фазового перехода метастабильного  $\gamma$ + $\theta$ -Al<sub>2</sub>O<sub>3</sub> в стабильный  $\alpha$ -Al<sub>2</sub>O<sub>3</sub> проведен PCA порошков состава Al<sub>2</sub>O<sub>3</sub> + nYSZ (n = 0, 1, 5, 10, 15 wt%), отожженных при  $T_{\rm ann}$  = 1200°C (рис. 4,a) и  $T_{\rm ann}$  = 1300°C (рис. 4, $\delta$ ) в течение 1 h. Дифрактограммы исследуемых образцов показали, что при T = 1200°C фазовый переход произошел в порошках без добавок YSZ, а в системах состава Al<sub>2</sub>O<sub>3</sub> + nYSZ наблюдается только начало образования стабильной фазы, т.е. они являются четырехфазными:  $\theta$ -,  $\gamma$ -,  $\alpha$ -Al<sub>2</sub>O<sub>3</sub> и t-ZrO<sub>2</sub> (рис. 4, $\alpha$ ). Из рис. 4, $\delta$  видно, что для этих систем полный фазовый переход метастабильного оксида алюминия в стабильное состояние осуществляется при T = 1300°C.

На основании рис. 4,6 можно сделать вывод, что добавка YSZ задерживает процесс фазовых превращений и повышает температуру перехода из метастабильного состояния в стабильное ( $T=1300^{\circ}$ C) по сравнению с системой без примеси YSZ, для которой характерен фазовый переход при  $T=1200^{\circ}$ C.



**Рис. 4.** Дифрактограммы отожженных при  $T_{\text{ann}} = 1200$ °C (*a*) и при  $T_{\text{ann}} = 1300$ °C (*б*) порошковых смесей  $\gamma+\theta$ -Al<sub>2</sub>O<sub>3</sub> + *n*YSZ, где *n*, wt%: I-0, 2-1, 3-5, 4-10, 5-15

Важную роль в структурообразовании композитной керамики играет размер кристаллитов исходного материала. Оценка величины ОКР в различных фазах оксида алюминия и в композитных системах при разных концентрациях YSZ, отожженных при  $T_{\rm ann}=1000^{\circ}{\rm C}$ , приведена в табл. 1.

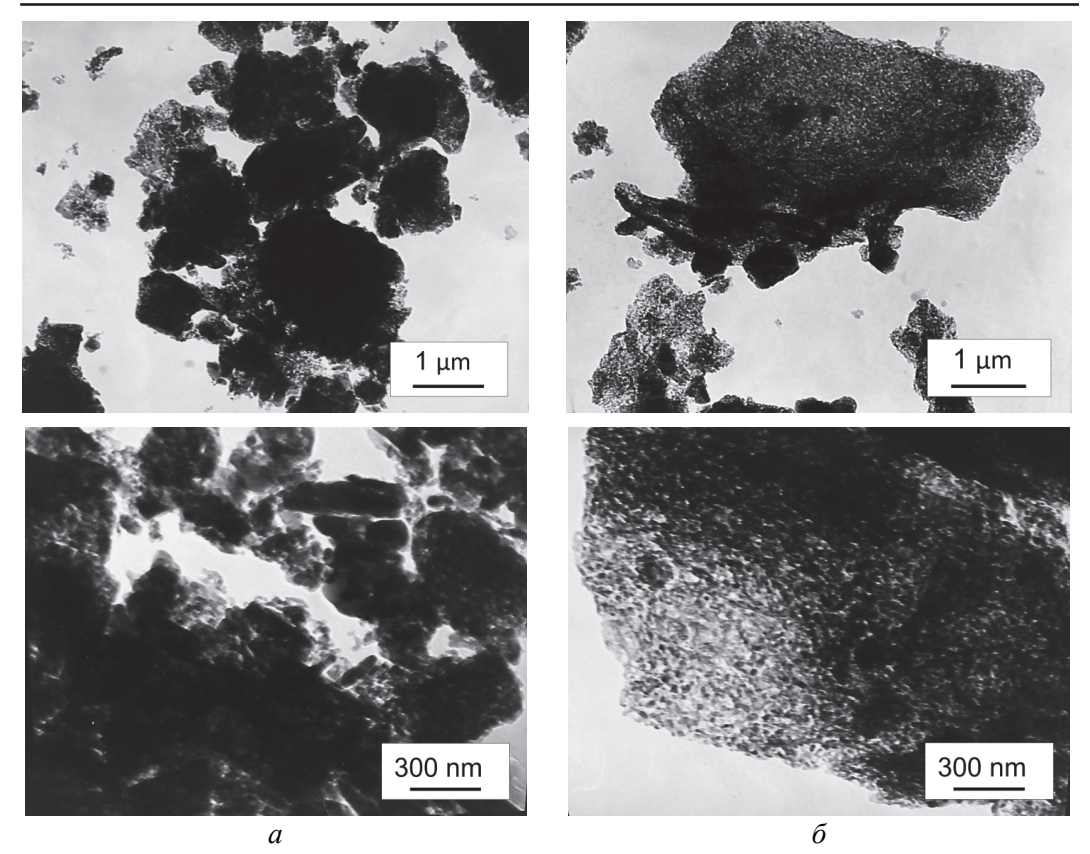
Таблица 1 Величина ОКР в системах Al(OH)3 и  $\gamma$ + $\theta$ -Al<sub>2</sub>O<sub>3</sub> + nYSZ

Состав	Отжиг, °С	d (OKP), nm
$\gamma$ + $\beta$ -Al(OH) <sub>3</sub>	200	$\gamma + \beta = 43$
γ-Al <sub>2</sub> O <sub>3</sub>	1000	$\gamma = 25$
θ-Al <sub>2</sub> O <sub>3</sub>	1000	$\theta = 22$
α-Al <sub>2</sub> O <sub>3</sub>	1200	$\alpha = 45$
$\gamma$ + $\theta$ -Al <sub>2</sub> O <sub>3</sub> + $n$ YSZ,		
где <i>n</i> ,wt%:		
1	1000	$\gamma + \theta = 59.5$ ; t = 15.5
5	1000	$\gamma + \theta = 29$ ; t = 12.5
10		$\gamma + \theta = 61.5; t = 12$
15		$\gamma + \theta = 63$ ; $t = 14.5$

Данные таблицы демонстрируют существенное отличие размеров ОКР между метастабильными (γ- и θ-Al<sub>2</sub>O<sub>3</sub>) и стабильными фазами Al(OH)<sub>3</sub> и α-Al<sub>2</sub>O<sub>3</sub>. В работе [26] это объясняется особенностями структурной трансформации алюмооксидной системы при отжиге порошка – образование новых фаз происходит вследствие разрушения исходных структур по определенным кристаллографическим плоскостям, что ведет к уменьшению размеров кристаллитов с ростом температуры отжига. Но такая интерпретация является лишь одной из возможных точек зрения на природу полиморфизма в алюмооксидной системе. Авторы статьи [29] считают, что ключевым фактором образования метастабильных фаз может быть присутствие примесных ионов  $(OH^{1-}, SO_4^{2-}, CO_3^{2-})$ , чье удаление при термообработке приводит к потере устойчивости метастабильных состояний. Параллельно в работе [30] обсуждается влияние размера частиц на формирование и стабилизацию метастабильных фаз. Однако некоторые исследователи [31] полагают, что решающую роль в образовании метастабильных фаз играют мартенситные переходы.

### 2.2. Микроструктура нанопорошков

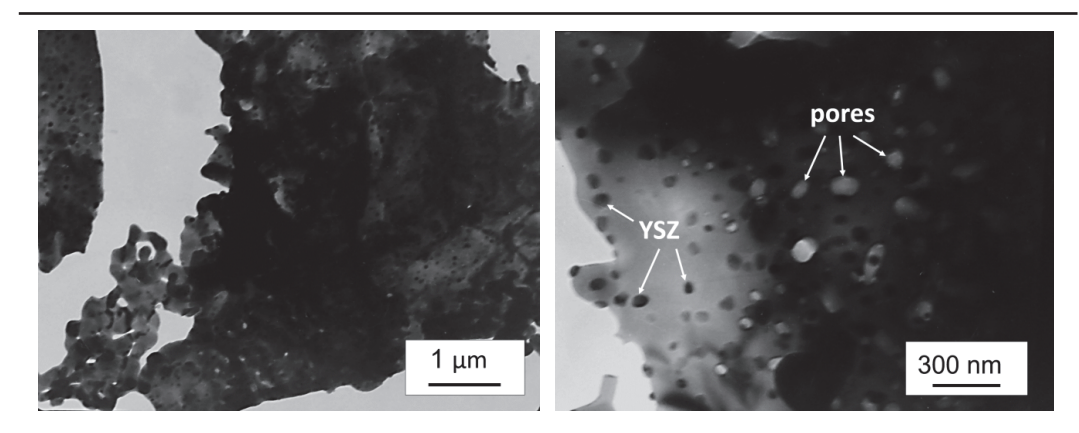
Данные ПЭМ для нанопорошков составов  $\gamma$ + $\theta$ -Al<sub>2</sub>O<sub>3</sub> и  $\gamma$ + $\theta$ -Al<sub>2</sub>O<sub>3</sub> + 15 wt% YSZ, отожженных при  $T_{ann} = 1000$ °C, представлены на рис. 5. Как видно из рис. 5,a, нанопорошок без добавки YSZ имеет значительный уровень агрегации с направленной ориентацией частиц Al<sub>2</sub>O<sub>3</sub>, различный уровень дисперсности, а также разную морфологию частиц. В нанопорошке с добавкой YSZ в 15 wt% (рис. 5, $\delta$ ) происходит существенное увеличение степени агрегации порошковой системы, но без направленной ориентации частиц, агломераты отличаются своими формами и размерами. В данной системе агрегаты мягкие, их легко разрушить механическим воздействием, так как они связаны между собой слабым ван-дер-ваальсовым взаимодействием [15].



**Рис. 5.** Структуры нанопорошков систем  $\gamma+\theta$ -Al<sub>2</sub>O<sub>3</sub> (*a*) и  $\gamma+\theta$ -Al<sub>2</sub>O<sub>3</sub> + 15 wt% YSZ ( $\delta$ ), отожженных при  $T_{ann} = 1000$ °C, полученные методом ПЭМ

Морфология частиц зависит от исходных веществ, величины их частиц и условий отжига порошков. В работе [25] описано изменение морфологии и текстуры оксида алюминия при прокаливании гиббсита  $\alpha$ -Al(OH)3. Нагревание гиббсита при T=470–520°C сопровождается удалением воды, которая отщепляется от групп ОН граней (101), в результате чего кристаллиты разрушаются вдоль этих граней. При дальнейшем нагревании получившиеся частицы распадаются на ряд элементов, разделенных новыми трещинами (микропорами). На этой стадии происходит рост удельной поверхности частиц. С увеличением температуры до T=800–900°C структура частиц сохраняется, но микропоры, как правило, исчезают. Таким образом, установлено, что в порошке  $\gamma$ + $\theta$ -Al<sub>2</sub>O<sub>3</sub> + YSZ легирующая добавка равномерно распределяется в объеме и оказывает значительное влияние на морфологию порошков оксида алюминия.

Данные, полученные методом ПЭМ для системы  $\gamma+\theta$ -Al<sub>2</sub>O<sub>3</sub> + 5 wt% YSZ, представлены на рис. 6. Морфология порошка в этой системе отличается от других исследованных концентраций — агрегация порошка значительно усиливается, а агломераты имеют более жесткую структуру. Кроме того, частицы фазы YSZ неравномерно распределены по объему Al<sub>2</sub>O<sub>3</sub>, а в агломератах Al<sub>2</sub>O<sub>3</sub> присутствует большое количество пор, что приводит к снижению максимальной интенсивности пиков YSZ на дифракционных картинах, показанных на рис. 3, 4.



**Рис. 6.** Структура нанопорошка системы  $\gamma$ + $\theta$ -Al<sub>2</sub>O<sub>3</sub> + 5 wt% YSZ, отожженного при  $T_{\text{ann}} = 1000$ °C, полученная методом ПЭМ

Методом БЭТ была оценена площадь удельной поверхности порошковых смесей, отожженных при  $T_{\rm ann}=1000^{\circ}{\rm C}$  (табл. 2). Как видно из табл. 1 и 2, добавка YSZ в концентрации n=5 wt% оказывает наибольшее влияние на уменьшение размеров ОКР и увеличение площади удельной поверхности наночастиц. Это коррелируется с результатами РФА, в которых получили заметное падение максимальной интенсивности пиков для данной системы, что объясняется эффектом взаимной защиты от кристаллизации из-за высокой агрегации нанопорошка.

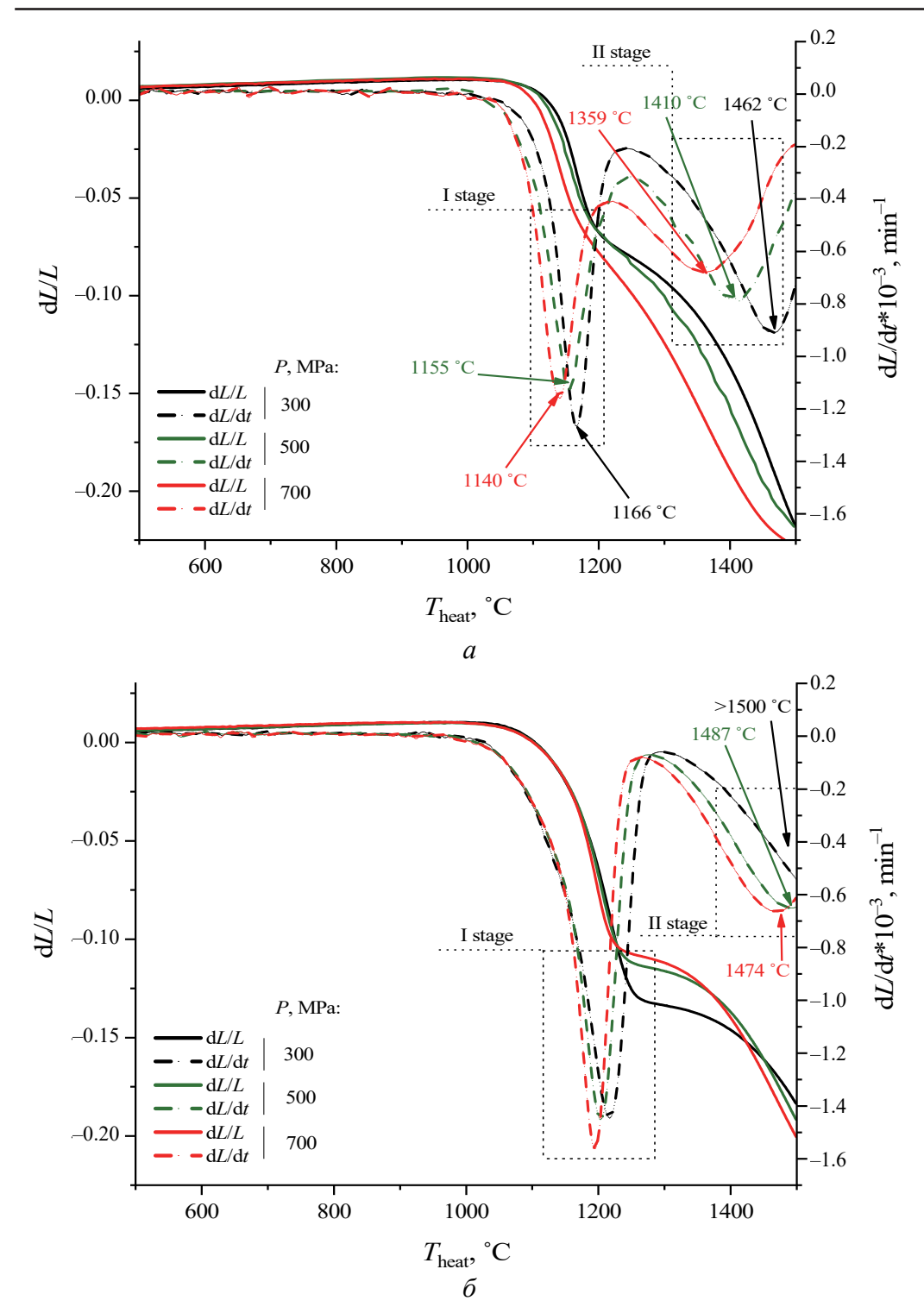
Таблица 2 Площади удельных поверхностей порошков системы  $\gamma$ +0-Al<sub>2</sub>O<sub>3</sub> + nYSZ, отожженных при  $T_{\rm ann}$  = 1000°C, измеренные методом БЭТ

r ann	
Состав	Площадь удельной поверхности, m <sup>2</sup> /g
$\gamma$ + $\theta$ -Al <sub>2</sub> O <sub>3</sub>	$57.3 \pm 0.2$
$\gamma$ + $\theta$ -Al <sub>2</sub> O <sub>3</sub> + $n$ YSZ, где $n$ ,wt%:	
1	$84.0 \pm 0.4$
5	$107.8 \pm 0.6$
10	$87.6 \pm 0.5$
15	$85.4 \pm 0.6$

## 2.3. Дилатометрический анализ

Результаты дилатометрического анализа образцов составов  $\gamma+\theta$ -Al<sub>2</sub>O<sub>3</sub> + nYSZ демонстрируют изменение усадки и скорости усадки образцов в зависимости от величины ВГД. Нагрев производили со скоростью 5°C/min до температуры  $T_{\text{heat}} = 1500$ °C.

Исследование образцов  $\gamma$ +0-Al<sub>2</sub>O<sub>3</sub> без примеси YSZ, подверженных обработке ВГД при значениях  $P=300,\,500,\,700$  MPa (рис. 7,a), показывает, что температура начала усадки зависит от величины физических воздействий. Так, при P=300 MPa усадка начинается при  $T_{\rm heat}=1122$ °C, при P=500 MPa температура усадки  $T_{\rm heat}=1107$ °C, а при  $T_{\rm heat}=1098$ °C.



**Рис. 7.** Температурные зависимости усадки dL/L и скорости усадки dL/dt образцов  $Al_2O_3$  (*a*) и  $Al_2O_3 + 15$  wt% YSZ (*б*) при различных значениях ВГД

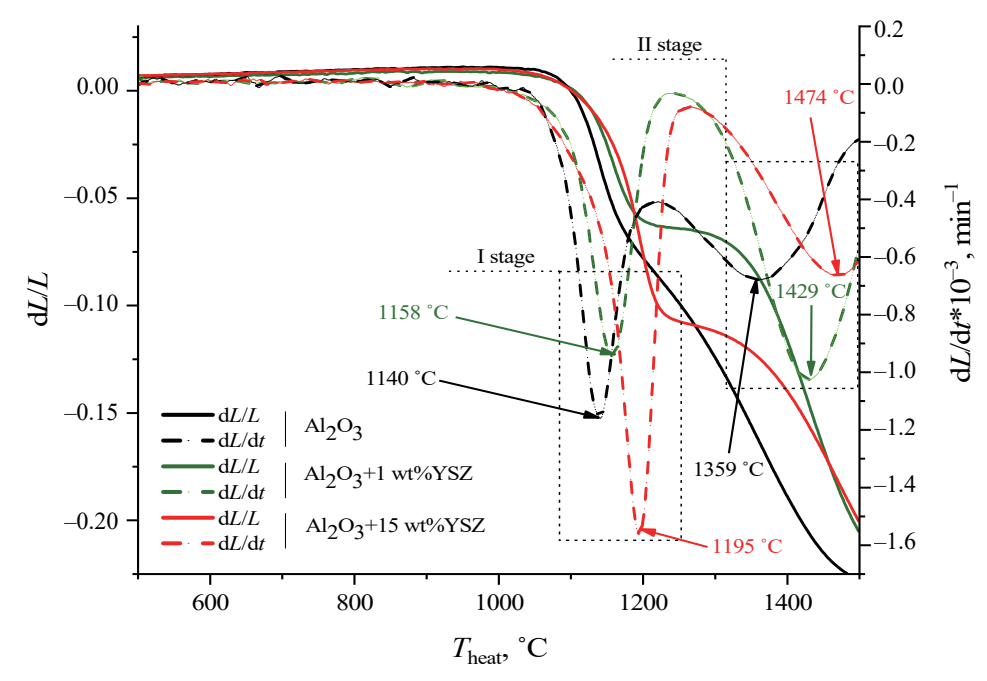
Исходя из данных РСА (см. рис. 4) и результатов дилатометрического анализа (рис. 7,a), процесс спекания условно можно разделить на две стадии: I — соответствует усадке полиморфных модификаций  $\gamma$ + $\theta$ -Al<sub>2</sub>O<sub>3</sub>, II — уплотнению стабильной фазы  $\alpha$ -Al<sub>2</sub>O<sub>3</sub>.

Из рис. 7,a видно, что с ростом величины ВГД спекание образцов происходит быстрее — температура начала спекания и уплотнение стабильной фазы  $\alpha$ -Al<sub>2</sub>O<sub>3</sub> смещаются в область меньших температур. При этом температура достижения максимальной скорости усадки фазы  $\alpha$ -Al<sub>2</sub>O<sub>3</sub> значительно отличается для разных величин ВГД: при P=300 МРа  $T_{\rm heat}=1462$ °C, а при P=700 МРа  $T_{\rm heat}=1359$ °C. Это связано с тем, что при переходе из метастабильной фазы  $\gamma$ + $\theta$ -Al<sub>2</sub>O<sub>3</sub> в стабильную  $\alpha$ -Al<sub>2</sub>O<sub>3</sub> существенно изменяется объем элементарной ячейки ( $V_{\gamma+\theta-{\rm Al}_2{\rm O}_3}=734.417$  Å<sup>3</sup>,  $V_{\alpha-{\rm Al}_2{\rm O}_3}=134.84$  Å<sup>3</sup>), что приводит к увеличению расстояния между частицами (образование «свободного объема») и затруднению их взаимодействия.

Исследование кривых спекания системы  $Al_2O_3 + 1$  wt% YSZ, полученных при разных значениях  $B\Gamma Д$ , показывает, что, как и в случае без добавки YSZ, температура начала усадки тем меньше, чем больше величина  $B\Gamma Д$ . Однако благодаря наличию примеси YSZ начало фазового перехода из  $\theta$ - $Al_2O_3$  в  $\alpha$ - $Al_2O_3$  замедляется по сравнению с системами без добавки. Подобное явление наблюдается для всех систем с различной концентрацией YSZ.

Дилатометрический анализ систем  $Al_2O_3 + 15$  wt% YSZ, полученных при разных значениях  $B\Gamma Д$  (рис. 7,6), показал, что величина  $B\Gamma Д$  практически не влияет на температуру начала усадки (наблюдается отличие в несколько градусов). Но температура начала перехода из стадии I в стадию II (на графике – достижение максимальной скорости усадки на I стадии) отличается: при P = 300 MPa  $T_{\text{heat}} = 1218$ °C, при P = 500 MPa  $T_{\text{heat}} = 1205$ °C, при P = 700 MPa  $T_{\text{heat}} = 1194$ °C. Также установлено, что для образца данной системы, спрессованного при P = 300 MPa, максимальная скорость уплотнения  $\alpha$ -фазы соответствует T > 1500°C.

На рис. 8 представлены кривые спекания керамики систем  $Al_2O_3$ ,  $Al_2O_3 + 1$  wt% YSZ и  $Al_2O_3 + 15$  wt% YSZ, спрессованных при P = 700 MPa. Из приведенных данных видно, что добавка YSZ существенно влияет на спекание систем  $Al_2O_3 + n$ YSZ. Для образца без примеси YSZ усадка начинается при меньшей температуре, чем для образцов с добавкой. При фазовом переходе в чистом  $Al_2O_3$  отсутствует остановка усадки, в то время как переход из первой стадии спекания во вторую в системах  $Al_2O_3 + 1$  wt% YSZ и  $Al_2O_3 + 15$  wt% YSZ смещен в область больших температур, значительно заторможен и сопровождается остановкой усадки. При этом максимальная скорость спекания  $Al_2O_3 + 15$  wt% YSZ на II стадии происходит при  $T_{\text{heat}} = 1474$ °C, что на  $\sim 90$ °C больше, чем в образце без добавки ( $T_{\text{heat}} = 1359$ °C). Следует отметить, что максимальная скорость усадки данной системы на первой стадии существенно выше, чем на второй, а для системы  $Al_2O_3 + 1$  wt% YSZ значения максимальных скоростей на обеих стадиях практически одинаковы.

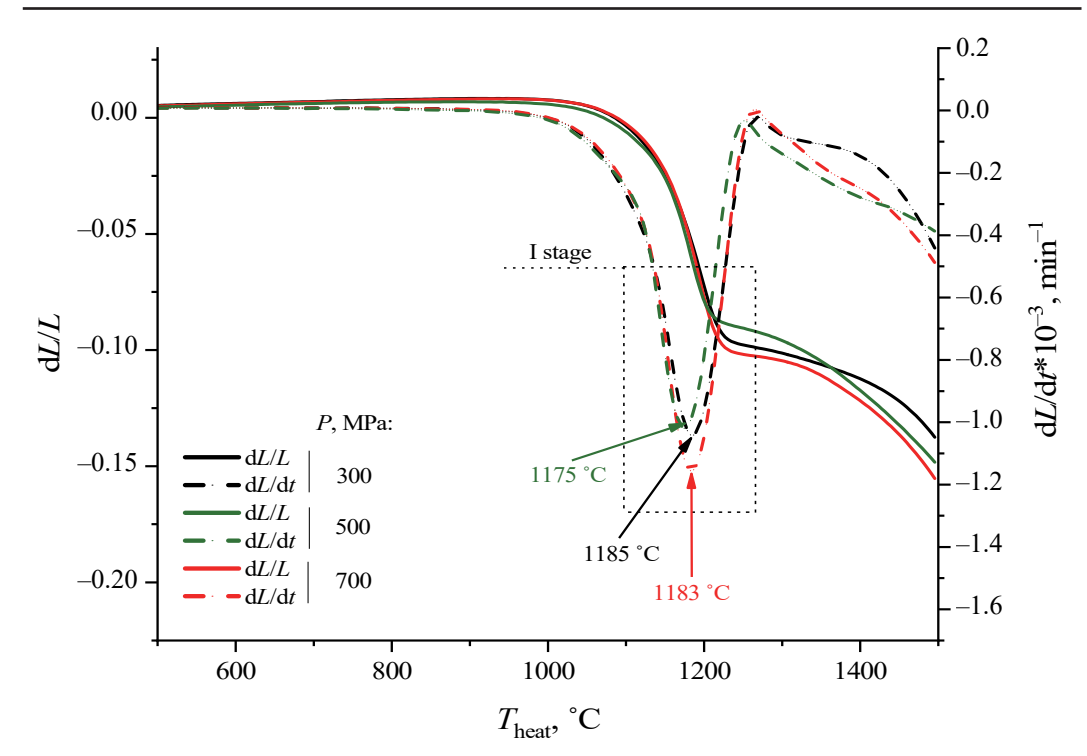


**Рис. 8.** Температурные зависимости усадки и скорости усадки образцов  $Al_2O_3$ ,  $Al_2O_3 + 1$  wt% YSZ и  $Al_2O_3 + 15$  wt% YSZ при P = 700 MPa

Как было отмечено ранее, в системе  $Al_2O_3 + 5$  wt% YSZ, отожженной при  $T_{ann} = 1000$ °C, наблюдается выраженный эффект защиты от кристаллизации. Из данных PCA и БЭТ также видно, что частицы данного нанопорошка намного меньше, чем частицы других систем с различными концентрациями YSZ (0, 1, 10, 15 wt%). На рис. 9 представлены кривые спекания керамики  $Al_2O_3 + 5$  wt% YSZ, спрессованной при различных значениях ВГД.

Результаты дилатометрического анализа системы  $Al_2O_3 + 5$  wt% YSZ отличаются от таковых для аналогичных систем с другим содержанием легирующей добавки YSZ. По сравнению с системой без добавки YSZ фазовый переход из  $\theta$ - $Al_2O_3$  в  $\alpha$ - $Al_2O_3$  смещен в сторону высоких температур и имеет больший временной интервал. Таким образом, происходит торможение фазового перехода, что приводит к ухудшению спекаемости керамики системы  $Al_2O_3 + 5$  wt% YSZ, поскольку максимальное уплотнение образцов достигается при T > 1500°C.

Авторы работ [32,33] отмечают, что I стадия усадки соответствует переходу из  $\theta$ -Al<sub>2</sub>O<sub>3</sub> в  $\alpha$ -Al<sub>2</sub>O<sub>3</sub>, а II — уплотнению  $\alpha$ -Al<sub>2</sub>O<sub>3</sub>. Исследователи [34] делят I стадию на два этапа: 1) уплотнение  $\gamma$ - и  $\theta$ -фаз и 2) трансформацию  $\alpha \to \theta$ . Однако результаты PCA, полученные при исследовании систем Al<sub>2</sub>O<sub>3</sub> + nYSZ, отожженных при  $T_{\rm ann}$  = 1200°C, говорят о наличии большого количества метастабильных фаз, а также о заметном падении усадки при переходе из первой стадии во вторую. Все это свидетельствует о том, что I стадию усадки нельзя объяснить только фазовым переходом. На данной стадии происходят более сложные процессы: начало фазового перехода, вследствие которого изменяется объем ячейки, затем — переупаковка частиц и образование стабильной  $\alpha$ -фазы. Эти процессы приводят к торможению или остановке усадки образцов.



**Рис. 9.** Температурные зависимости усадки и скорости усадки образцов  $Al_2O_3 + 5$  wt% YSZ при различных значениях ВГД

Для определения доминирующей стадии уплотнения порошковых компактов состава  $Al_2O_3 + nYSZ$  во время спекания проведены измерения их плотности до и после дилатометрических исследований (табл. 3). Из данных, представленных в табл. 3, и результатов дилатометрических исследований (см. рис. 7–9) можно сделать вывод, что главную роль в уплотнении материала играет II стадия усадки. Так, плотность образцов состава  $Al_2O_3 + 1$  wt% YSZ, достигаемая после  $1500^{\circ}$ C, больше, чем у образца  $Al_2O_3 + 15$  wt% YSZ (соответственно  $\rho = 3.469$  и 3.309 g/cm<sup>3</sup>), хотя скорость усадки в системе  $Al_2O_3 + 15$  wt% YSZ (см. рис. 8). Кроме того, добавление YSZ приводит к задержке фазового перехода из  $\theta$ - $Al_2O_3$  в  $\alpha$ - $Al_2O_3$  и при концентрации YSZ n = 5 wt%, наибольшее уплотнение происходит при  $T > 1500^{\circ}$ C.

Таблица 3 Плотность компактов до и после спекания систем  $Al_2O_3 + nYSZ$  со скоростью 5°C/min до 1500°C, предварительно обработанных при различных величинах ВГД

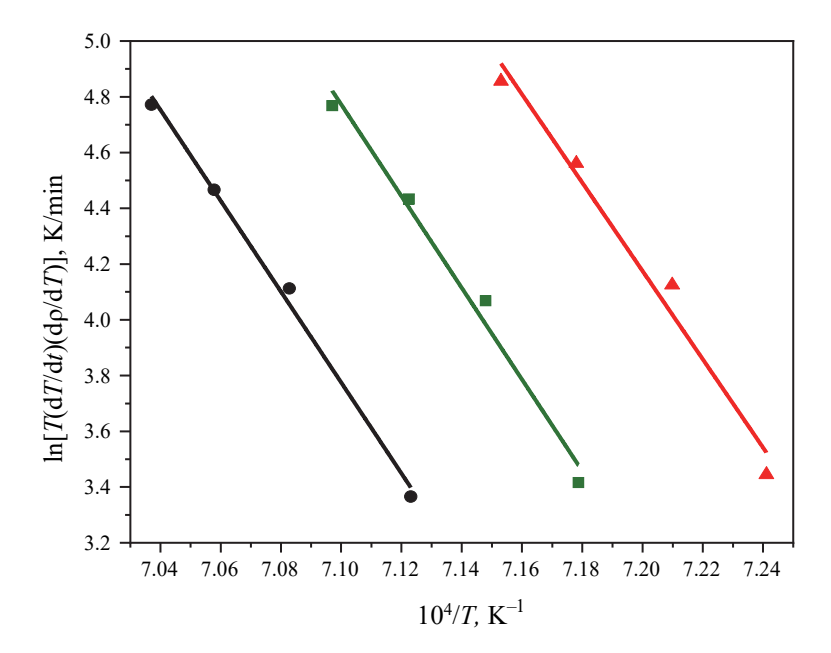
Образец	P, MPa	Плотность $\rho$ , g/cm <sup>3</sup>		
Образец	1, wir a	до спекания	после спекания	
1	2	3	4	
	300	1.535	3.303	
Al <sub>2</sub> O <sub>3</sub>	500	1.666	3.554	
	700	1.916	3.615	

т					_	_	
1 11	not	TOI	тже	ние	Tar	νпи	шы
11	$\mathcal{O}\mathcal{O}_{\mathcal{I}}$	10,	1711	11110	140	JIIII	цы

1	2	3	4
$Al_2O_3 + nYSZ$ , где $n$ ,			
wt%:	300	1.598	2.441
1	500	1.836	3.05
	700	2.156	3.469
	300	1.381	2.081
5	500	1.627	2.51
	700	1.608	2.688
	300	1.632	2.412
10	500	1.882	3.04
	700	2.12	3.395
	300	1.666	2.367
15	500	1.916	2.963
	700	2.23	3.309

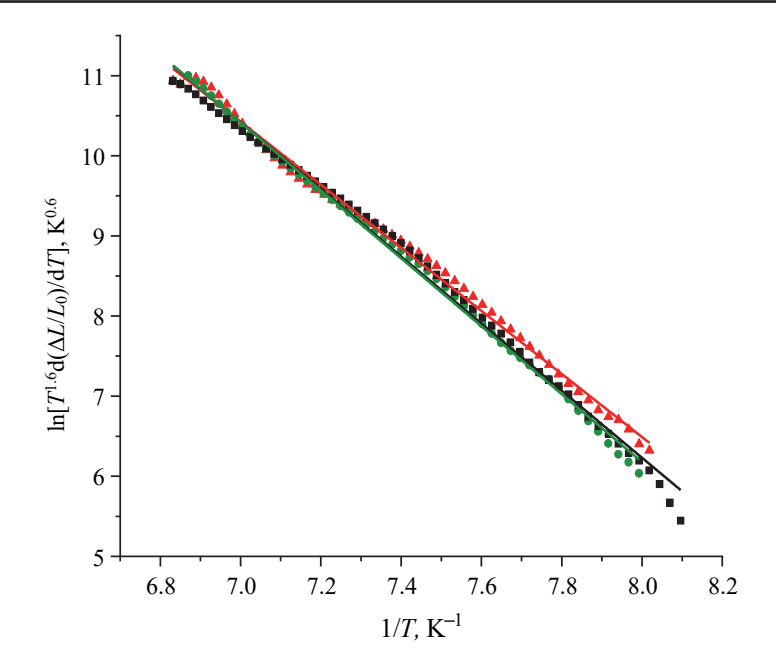
# 1.4. Механизмы спекания образцов систем $\gamma + \theta - Al_2O_3 + YSZ$

Энергию активации спекания определяли методом, описанным в [25,26], при помощи графиков Аррениуса, пример которых для системы  $\gamma$ + $\theta$ -Al<sub>2</sub>O<sub>3</sub> при различных величинах обработки ВГД приведен на рис. 10.



**Рис. 10.** Графики Аррениуса образцов  $\gamma$ +0-Al<sub>2</sub>O<sub>4</sub> при разной относительной плотности и разном давлении компактирования образцов ВГД *P*, MPa: • − 300, ■ − 500, ▲ − 700

Доминирующий механизм спекания для систем  $Al_2O_3 + nYSZ$  (n = 0, 1, 5, 10, 15 wt%) устанавливали по графикам зависимости  $ln[T^{1.6}d(\Delta L/L_0)/dT]$  от 1/T. На рис. 11 представлена такая зависимость для системы  $\gamma+\theta-Al_2O_3$  без добавки YSZ при различных величинах  $B\Gamma J$ .



**Рис. 11.** Зависимость  $\ln[T^{1.6}d(\Delta L/L_0)/dT]$  от 1/T для системы  $\gamma$ + $\theta$ -Al<sub>2</sub>O<sub>3</sub> при различных величинах обработки ВГД P, MPa:  $\bullet$  – 300,  $\blacksquare$  – 500,  $\blacktriangle$  – 700

В табл. 4 представлены полученные результаты энергии активации спекания Q и механизмов массопереноса для каждого исследуемого образца при разной величине ВГД. По данным таблицы видно, что образцы  $\gamma$ +0-Al<sub>2</sub>O<sub>3</sub> и  $\gamma$ +0-Al<sub>2</sub>O<sub>3</sub> + 1 wt% YSZ спекаются по механизму объемной диффузии при  $S_2/S_1 = 1/2$  (где  $S_1$ ,  $S_2$  — тангенсы углов наклона кривых на зависимостях соответственно графику Аррениуса и зависимости  $\ln[T^{1.6}d(\Delta L/L_0)/dT]$  от 1/T) независимо от величины ВГД. Системы Al<sub>2</sub>O<sub>3</sub> + nYSZ (n = 5, 10, 15 wt%) при P = 300 MPa спекаются по механизму зернограничной диффузии при  $S_2/S_1$  = 1/3, а при P ≥ 500 MPa — по механизму объемной диффузии при  $S_2/S_1$  = 1/2.

Таблица 4 Энергия активации спекания Q и механизм спекания для нанопорошков состава  $Al_2O_3 + nYSZ$ , обработанных при различной величине ВГД

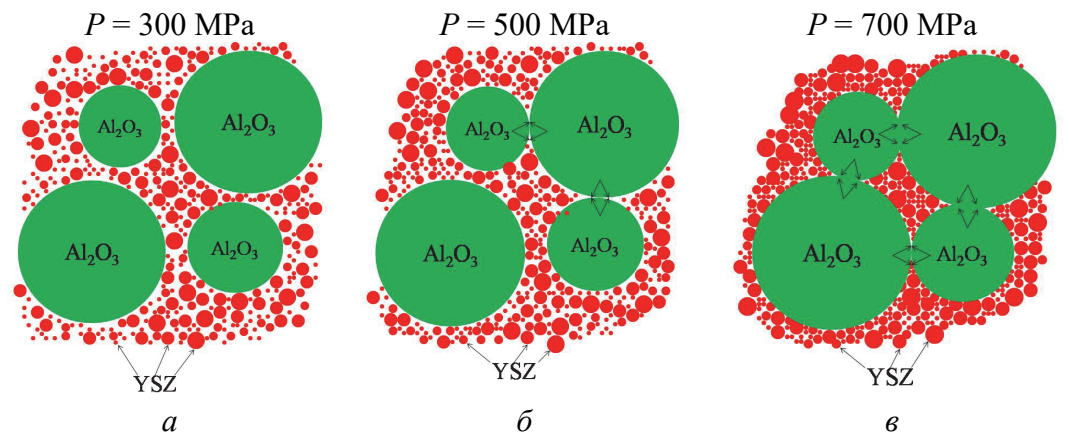
Образец	P, MPa	S <sub>2</sub> /S <sub>1</sub>	$Q \pm 30$ , kJ/mol	Степень механизма диффузии	Механизм мас- сопереноса*
1	2	3	4	5	6
	300		1256	0.4043	
γ+θ- Al <sub>2</sub> O <sub>3</sub>	500	1/2	1265	0.4750	ОД
	700		1216	0.4150	
$\gamma$ + $\theta$ - Al <sub>2</sub> O <sub>3</sub> + + $n$ YSZ,					
где <i>n</i> , wt%:	300		1071	0.4043	
1	500	1/2	933	0.4239	ОД
	700		1023	0.4273	

	Продолжение таблиг				
1	2	3	4	5	6
	300	1/3	904	0.395	3ГД
5	500	1/2	805	0.4367	ОД
	700	1/2	715	0.4852	ОД
	300	1/3	934	0.391	3ГД
10	500	1/2	824	0.4438	ОД
	700	1/2	817	0.4195	ОД
	300	1/3	915	0.3751	3ГД
15	500	1/2	833	0.4559	ОД
	700	1/2	822	0.4264	ОД

\*ОД – объемная диффузия, ЗГД – зернограничная диффузия.

По данным таблицы видно, что с повышением концентрации легирующей примеси YSZ и ростом величины обработки компактов ВГД энергия активации начала спекания Q уменьшается, что связано с большой начальной плотностью образцов вследствие их обработки ВГД (см. табл. 3).

Преобладание зернограничной диффузии при концентрации YSZ  $n \ge 5$  wt% и P = 300 MPa связано с тем, что с ростом содержания добавки YSZ происходит ее распределение по структуре  $\gamma$ + $\theta$ -Al<sub>2</sub>O<sub>3</sub> на границах зерен. Повышение ВГД ( $P \ge 500$  MPa) приводит к изменению распределения легирующей примеси и образованию агломератов зерен YSZ в межзеренном пространстве Al<sub>2</sub>O<sub>3</sub>. Спекание системы  $\gamma$ + $\theta$ -Al<sub>2</sub>O<sub>3</sub> + 1 wt% YSZ происходит по механизму объемной диффузии независимо от величины ВГД. Это можно объяснить малым количеством примеси YSZ, концентрации которой недостаточно для формирования межкристаллитных сегрегаций в структуре Al<sub>2</sub>O<sub>3</sub>. Пример зависимости механизмов спекания и распределения частиц для систем  $\gamma$ + $\theta$ -Al<sub>2</sub>O<sub>3</sub> + nYSZ ( $n \ge 5$  wt%) от величины ВГД приведен на рис. 12.



**Рис. 12.** Схематическое изображение влияния ВГД на механизм спекания и распределения YSZ (при  $n \ge 5$  wt%) в алюмооксидной матрице: a – механизм ЗГД,  $\delta$  – ЗГД < ОД,  $\epsilon$  – механизм ОД

#### Выводы

- 1. Методом PCA установлено, что порошковые смеси  $Al_2O_3 + nYSZ$  (n = 0, 1, 5, 10, 15 wt%), отожженные при  $1000^{\circ}$ C, имеют трехфазную структуру: моноклинную  $\theta$ -Al<sub>2</sub>O<sub>3</sub>, кубическую  $\gamma$ -Al<sub>2</sub>O<sub>3</sub> и тетрагональную t-ZrO<sub>2</sub>. Также выявлено, что добавка YSZ задерживает процесс фазовых превращений и повышает температуру перехода из метастабильного состояния  $\gamma$ + $\theta$ -Al<sub>2</sub>O<sub>3</sub> в стабильное  $\alpha$ -Al<sub>2</sub>O<sub>3</sub> ( $T = 1300^{\circ}$ C) по сравнению с системой без примеси Al<sub>2</sub>O<sub>3</sub> + 0 wt% YSZ, для которой характерен фазовый переход при  $T = 1200^{\circ}$ C.
- 2. Данные, полученные методом ПЭМ для системы  $\gamma+\theta$ -Al<sub>2</sub>O<sub>3</sub> + 5 wt% YSZ, свидетельствуют о том, что морфология порошка в ней отличается от других исследованных концентраций: частицы фазы YSZ неравномерно распределены по объему Al<sub>2</sub>O<sub>3</sub>, а в агломератах Al<sub>2</sub>O<sub>3</sub> присутствует большое количество пор. Результаты РСА и БЭТ указывают на уменьшение размеров ОКР и увеличение площади удельной поверхности частиц в данной системе. Это приводит к значительной задержке фазового перехода из метастабильного состояния  $\gamma+\theta$ -Al<sub>2</sub>O<sub>3</sub> в стабильное  $\alpha$ -Al<sub>2</sub>O<sub>3</sub>, что подтверждают результаты дилатометрических исследований.
- 3. Анализ кривых спекания показал, что с увеличением ВГД температура начала усадки уменьшается во всех исследуемых системах.
- 4. Исходя из данных РСА и результатов дилатометрического анализа, в процессе спекания можно выделить две стадии: первая соответствует усадке полиморфных модификаций  $\gamma$ + $\theta$ -Al<sub>2</sub>O<sub>3</sub>, вторая уплотнению стабильной фазы  $\alpha$ -Al<sub>2</sub>O<sub>3</sub>. В системах Al<sub>2</sub>O<sub>3</sub> + nYSZ (n = 1, 5, 10, 15 wt%) из-за наличия примеси начало фазового перехода из  $\theta$ -Al<sub>2</sub>O<sub>3</sub> в  $\alpha$ -Al<sub>2</sub>O<sub>3</sub> замедляется по сравнению с системой без добавки. Также выявлено, что с ростом концентрации YSZ увеличивается температурный диапазон остановки усадки при фазовом переходе. Анализ плотностей компактов до и после спекания и результатов дилатометрических исследований показал, что главную роль в уплотнении материала играет II стадия усадки.
- 5. Преобладающим механизмом спекания для систем  $Al_2O_3 + nYSZ$  (n = 0, 1, 5, 10, 15 wt%), обработанных при  $P \ge 500$  MPa, является объемная диффузия зерен. Однако при концентрации  $YSZ \ge 5$  wt% и P = 300 MPa главным механизмом спекания является зернограничная диффузия.
- 1. W. Zhang, Mater. Adv. 4, 3140 (2023).
- 2. H. Luo, D. Han, J. Zhang, Sh. Wang, P. Liu, J. Eur. Ceram. Soc. 44, 4216 (2024).
- 3. *J.F. Justin, A. Jankowiak*, Aerospacelab-Journal № 3, 1 (2011).
- 4. A.Z.A. Azhar, M.M. Ratnam, Z.A. Ahmad, J. Alloys Compd. 478, 608 (2009).
- 5. N. Baluc, K. Abe, J.L. Boutard, V.M. Chernov, E. Diegele, S. Jitsukawa, A. Kimura, R.L. Klueh, A. Kohyama, R.J. Kurtz, R. Lasser, H. Matsui, A. Moslang, T. Muroga, G.R. Odette, M.Q. Tran, B. van der Schaaf, Y. Wu, J. Yu, S.J. Zinkle, Nucl. Fusion 47, 696 (2007).

- 6. S.K. Avinashi, R.K. Mishra, Shweta, S. Kumar, A. Shamsad, S. Parveen, S. Sahu, S. Kumari, Z. Fatima, S.K. Yadav, M. Banerjee, M. Mishra, N. Mehta, C.R. Gautam, Sci. Rep. 15, 3224 (2025).
- 7. S. Affatato, R. Torrecillas, P. Taddei, M. Rocchi, C. Fagnano, G. Ciapetti, A. Toni, J. Biomed. Mater. Res. **B78**, 76 (2006).
- 8. *P. Palmero*, Nanomaterials **5**, 656 (2015).
- 9. Z. Pędzich, G. Grabowski, A. Wojteczko, Szkło i Ceramika № 2, 20 (2018).
- 10. *I.P. Shapiro, R.I. Todd, J.M. Titchmarsh, S.G. Roberts*, J. Eur. Ceram. Soc. **31**, 85 (2011).
- 11. J.-H. Eom, Y.-K. Seo, Y.-W. Kim, S.-J. Lee, Met. Mater. Int. 21, 525 (2015).
- 12. А.М. Абызов, Стекло и керамика 91, № 8, 8 (2018).
- 13. P.K. Rao, P. Jana, M.I. Ahmad, P.K. Roy, Ceram. Int. 45, 16054 (2019).
- 14. *А.В. Малецкий, Т.Е. Константинова, Д.Р. Беличко, Г.К. Волкова, В.В. Бурховецкий*, Вопросы материаловедения **106**, № 2, 127 (2021).
- 15. *H. Wakily*, Colloidal Filtration of Alumina-Zirconia with Solid Oxide Additives: dissertation submitted in fulfillment of the requirements for the degree of master of engineering science (2012).
- 16. A.V. Maletskyi, T.E. Konstantinova, G.K. Volkova, D.R. Belichko, A.S. Doroshkevich, E. Popov, N. Cornei, B. Jasinska, Zh.V. Mezentseva, A.A. Tatarinova, M.N. Mirzayev, L.H. Khiem, I. Ristić, V. Teofilović, R. Balvanović, Ceram. Int. 49, 16044 (2023).
- 17. A.V. Maletsky, D.R. Belichko, T.E. Konstantinova, G.K. Volkova, A.S. Doroshkevich, A.I. Lyubchyk, V.V. Burkhovetskiy, V.A. Aleksandrov, D. Mardare, C. Mita, D. Chicea, L.H. Khiem, Ceram. Int. 47, 19489 (2021).
- 18. А.И. Гусев, Наноматериалы, наноструктуры, нанотехнологии, ФИЗМАТ-ЛИТ, Москва (2005).
- 19. I. Danilenko, M. Lakusta, L. Loladze, G. Volkova, I. Popov, V. Glazunova, T. Konstantinova, Results in Physics 19, 103495 (2020).
- 20. M. Lakusta, I. Danilenko, T. Konstantinova, G. Volkova, Nanoscale Res. Lett. 11, 238 (2016).
- 21. *I. Danilenko, S. Prokhorenko, T. Konstantinova, L. Ahkozov, V. Burkhovetski, V. Glazunova*, World J. Eng. **11**, № 1, 9 (2014).
- 22. R. Benavente, M.D. Salvador, F.L. Penaranda-Foix, E. Pallone, A. Borrell, Ceram. Int. 40, 11291 (2014).
- 23. D.Yu. Kosyanov, A.A. Vornovskikh, O.O. Shichalin, E.K. Papynov, A.A. Belov, A.A. Kosianova, A.N. Fedorets, A.A. Leonov, A.P. Zavjalov, S.A. Tikhonov, Y. Wang, Z. Cheng, X. Liu, J. Li, J. Adv. Ceram. 12, 1015 (2023).
- 24. *R. German*, Sintering: From Empirical Observations to Scientific Principles, Elsevier (2014).
- 25. Дж. Андерсон, Структура металлических катализаторов, Мир, Москва (1978).
- 26. *Н.Ф. Косенко*, Известия высших учебных заведений. Химия и химическая технология **54**, № 5, 3 (2011).
- 27. И.Л. Кнунянц, Химическая энциклопедия. Том 1, Советская энциклопедия, Москва (1988).

- 28. В.Н. Стрекаловский, Ю.М. Полежаев, С.Ф. Пальгуев, Оксиды с примесной разупорядоченностью. Состав, структура, фазовые превращения, Наука, Москва (1987).
- 29. E. Bernstein, M.G. Blanchin, R. Ravelle-Chapuis, J. Rodriguez-Carvajal, J. Mater. Sci. 27, 6519 (1992).
- 30. R.C. Garvie, The Journal of Physical Chemistry 69, 1238 (1965).
- 31. T. Mitsuhashi, M. Ichihara, U. Tatsuke, J. Am. Ceram. Soc. 57, 97 (1974).
- 32. C. Legros, C. Carry, P. Bowen, H. Hofmann, J. Eur. Ceram. Soc. 19, 1967 (1999).
- 33. S. Lartigue-Korinek, C. Legros, C. Carry, F. Herbst, J. Eur. Ceram. Soc. 26, 2219 (2006).
- 34. M. Azar, P. Palmero, M. Lombardi, V. Garnier, L. Montanaro, G. Fantozzi, J. Chevalier, J. Eur. Ceram. Soc. 28, 1121 (2008).
- A.A. Zozulia, A.V. Maletskii, D.R. Belichko, G.K. Volkova, M.N. Iakimenko, L.V. Loladze, I.K. Nosolev

# EFFECT OF HIGH HYDROSTATIC PRESSURE ON THE INITIAL STAGE OF SINTERING OF METASTABLE ALUMINA DOPED BY ZIRCONIUM DIOXIDE

The effect of processing of a nanopowder by high hydrostatic pressure (HHP) of 300, 500, 700 MPa and doping by stabilized zirconium dioxide (ZrO<sub>2</sub> + 3 mol% Y<sub>2</sub>O<sub>3</sub> (YSZ)) on the initial stage of sintering of metastable phases of alumina  $\gamma + \theta$ -Al<sub>2</sub>O<sub>3</sub>. The morphology the structure and the phase composition of the nanopowders have been studied by X-ray structure analysis (XRSA), transmission electron microscopy (TEM) and Brunauer-Emmett-Teller method (BET). The linear contraction of the pressed samples is tested by the method of constant heating rate of 5°C/min within the range from 20 to 1500°C. It is found that an increase if HHP is accompanied by reduced temperature of the start of the sintering of the compacts. According to the data of XRSA and dilatometric analysis, sintering is divided into two stages: contraction of polymorphic modifications of  $\gamma + \theta$ -Al<sub>2</sub>O<sub>3</sub> and densification of the stable phase of  $\alpha$ -Al<sub>2</sub>O<sub>3</sub>. The relation between increased concentration of doping and slowed down densification in the course of transition from the metastable phase of alumina to the stable one is found. The analysis of the densities before and after sintering has demonstrated that an increase in the concentration of doping YSZ combined with increased HHP results in reduction of the activation energy of sintering start Q. In the systems of Al<sub>2</sub>O<sub>3</sub> + nYSZ (n = 0, 1, 5, 10, 15 wt%), processed by HHP at  $P \ge 500$  MPa, grain volume diffusion is the prevailing mechanism of sintering; the concentration of YSZ  $n \ge 5$  wt% and P = 300 MPa are associated with the grain boundary diffusion.

**Keywords:** metastable alumina, stabilized zirconium dioxide, high hydrostatic pressure, kinetics of sintering

- Fig. 1. Scheme of phase transformations in an alumina system
- Fig. 2. Diffractograms of the Al(OH)<sub>3</sub> powders after drying at  $T \sim 200$ °C
- **Fig. 3.** Diffractograms of the annealed at  $T_{\text{ann}} = 1000^{\circ}\text{C}$  powder blends of  $\gamma+\theta$ -Al<sub>2</sub>O<sub>3</sub> + + nYSZ, where n, wt%: l 0, 2 1, 3 5, 4 10, 5 15

## Физика и техника высоких давлений 2025, том 35, № 2

- **Fig. 4.** Diffractograms of the annealed at  $T_{\text{ann}} = 1200^{\circ}\text{C}$  (a) and  $T_{\text{ann}} = 1300^{\circ}\text{C}$  (6) powder blends of  $\gamma+\theta-\text{Al}_2\text{O}_3 + n\text{YSZ}$ , where n, wt%: I = 0, 2 = 1, 3 = 5, 4 = 10, 5 = 15
- **Fig. 5.** TEM structures of nanopowders of  $\gamma+\theta$ -Al<sub>2</sub>O<sub>3</sub> (*a*) and  $\gamma+\theta$ -Al<sub>2</sub>O<sub>3</sub> + 15 wt% YSZ ( $\delta$ ), annealed at  $T_{ann} = 1000^{\circ}$ C
- **Fig. 6.** TEM structure of a nanopowder of  $\gamma$ + $\theta$ -Al<sub>2</sub>O<sub>3</sub> + 5 wt% YSZ, отожженного при  $T_{\rm ann}$  = 1000°C
- **Fig. 7.** Temperature dependences of contraction dL/L and contraction rate dL/dt of the samples of Al<sub>2</sub>O<sub>3</sub> (a) and Al<sub>2</sub>O<sub>3</sub> + 15 wt% YSZ ( $\delta$ ) under varied HHP
- Fig. 8. Temperature dependences of contraction and contraction rate of the samples of Al<sub>2</sub>O<sub>3</sub>, Al<sub>2</sub>O<sub>3</sub> + 1 wt% YSZ and Al<sub>2</sub>O<sub>3</sub> + 15 wt% YSZ under P = 700 MPa
- **Fig. 9.** Temperature dependences of contraction and contraction rate of the samples of  $Al_2O_3 + 5$  wt% YSZ under varied HHP
- Fig. 10. Arrhenius graphs of the samples of  $\gamma+\theta$ -Al<sub>2</sub>O<sub>3</sub> at varied relative density and varied compaction pressure P, MPa:  $\bullet 300$ ,  $\blacksquare 500$ ,  $\triangle 700$
- Fig. 11. Dependence of  $\ln[T^{1.6}d(\Delta L/L_0)/dT]$  on 1/T in  $\gamma+\theta$ -Al<sub>2</sub>O<sub>3</sub> under varied HHP processing P, MPa:  $\bullet -300$ ,  $\blacksquare -500$ ,  $\triangle -700$
- **Fig. 12.** Scheme of the HHP effect on the mechanism of the sintering and distribution of YSZ (at  $n \ge 5$  wt%) in the alumina matrix: a mechanism of GBD,  $\delta$  GBD < VD,  $\varepsilon$  VD mechanism